СТРУННЫЕ

Исследуем движение ротора по углу  $\psi$ , описываемое соотношениями (3.21), (3.12) и (3.13).

В случае колебательного движения при  $\beta < \beta_{\rm kp}$  в пределах от  $x_0 = 1$  до  $x_{**} = \frac{2}{2-\beta}$  угол  $\psi$  изменяется согласно (3.21) в пределах от  $\psi_0$  до  $\psi_{**} = -\psi_0$ .

Угловая скорость  $\dot{\psi} = \psi' \dot{x}$  в крайних точках обращается в нуль, что следует из того, что  $\dot{x}(x_0) = \dot{x}(x_{**}) = 0$ ; наибольшее по модулю значение достигается в положении  $x_* = \beta$ :

$$\dot{\psi}(x_*) = -\frac{\psi_0}{\beta} \left(\frac{q}{\beta}\right)^{1/2}.$$

Угловое ускорение  $\ddot{\psi} = \psi'' \dot{x}^2 + \psi' \ddot{x}$  после подстановки производных  $\psi''(x)$  и  $\psi'(x)$  принимает вид:

$$\ddot{\psi}(x) = \frac{\psi_0 \beta}{\beta - 1} \frac{2\dot{x}^2 - \ddot{x}x}{x^3}.$$

В точках  $x_0 = 1$ ,  $x_* = \beta$ ,  $x_{**} = \frac{\beta}{2 - \beta}$  имеет, соответственно, значения:

$$-\psi_0 \beta q$$
;  $2\psi_0 q(\beta-1)^2/\beta^4$ ;  $\psi_0 q(2-\beta)^4/\beta^3$ .

В случаях  $\beta = \beta_{\kappa p}$  и  $\beta > \beta_{\kappa p}$  при удалении ротора на бесконечность угол  $\psi$  имеет предельные значения:

$$\psi_1\left(\infty\right) = -\frac{\psi_0}{\beta_{\kappa n} - 1} = -\psi_0; \quad \psi_2\left(\infty\right) = -\psi_0 \frac{1}{1 - \beta},$$

при этом угловая скорость и угловое ускорение обращаются в нуль. Введем переменную

$$z = Rx\sin\psi, \tag{3.24}$$

представляющую собой натуральное значение высоты ротора над плоскостью экватора. Ограничиваясь малыми значениями  $\psi$  и линеаризуя (3.24) по  $\psi$ , получим с учетом (3.21):

$$z = \frac{\psi_0 R}{\beta - 1} (\beta - x). \tag{3.25}$$

Величина z является также аппликатой точки M пересечения ротора с плоскостью X0Z (рисунки 24 и 26), а зависимость (3.25) — уравнением траектории этой точки. Учитывая малость угла  $\psi$ , эта траектория представляет собой прямую с началом в точке  $M_0$ , пересекающую плоскость экватора в единственной точке  $x_* = \beta$ , где проходит постоянная орбита ротора (рисунок 26). При свободном движении ротора значения  $\dot{x}, \dot{\psi}, \ddot{\psi}$  в точке  $x_*$  не равны нулю, следовательно, точка M проходит положение  $x_*$  без остановки. В случае колебательного движения точка M движется вдоль прямой до положения  $M_{**}$  с координатой  $x_{**}$ , определяемой согласно (3.22), после чего начинается обратное движение в направлении исходной точки  $M_0$ .

При движении в критических случаях  $\beta \geq \beta_{\text{кр}}$  точка M удаляется вдоль прямой  $M_0 M_{**}$  на бесконечность.

Движение самого ротора представляет собой колебания, происходящие на поверхности конуса с образующей  $M_0M_*M_*$ , когда ротор то сползает «вниз», то поднимается «вверх». При этом ротор вращается с угловой скоростью  $\dot{\phi}$  вокруг оси конуса 0Z, то уменьшая, то увеличивая ее величину. В критических случаях колебательное движение вырождается в неограниченном сползании по конусу «вниз». В случае расположения стартовой позиции ротора в южном полушарии планеты сползание сменяется восхождением по конусу в северное полупространство по отношению к плоскости экватора.

Во всех случаях положение точки  $x_*$  должно быть выбрано из условия отсутствия каких-либо препятствий в ее окрестности, точнее, в соответствующей кольцевой части плоскости  $\Pi_1$ . Выбор  $x_* = \beta$  определяет и направление дальнейшего движения ротора со стартовой позиции  $M_0$  через  $M_*$  по отношению к экваториальной плоскости. Эта траектория влияет на условие бесконтактного прохождения мимо крупных естественных спутников, расположенных в этой плоскости, а также на условие минимальности корректирующих импульсов при движении фрагментов ротора к назначенной цели.

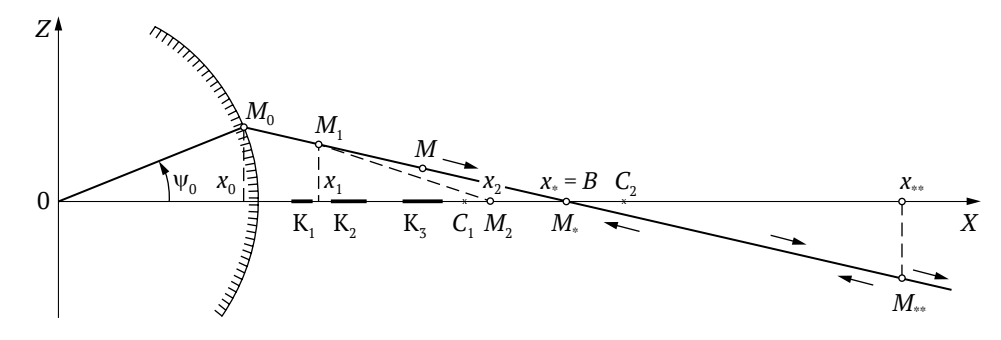


Рисунок 26 — Схема движения характерной точки M. В режиме I — сплошная линия  $M_{_{1}}M_{_{2}}M_{_{3}}$ , в режиме III — штриховая линия  $M_{_{1}}M_{_{2}}$ ; в режиме III — участок  $M_{_{2}}M_{_{3}}$